

### 청각 계통에서의 음성신호처리

이재혁, 심재성, 윤태성, 백승화, 박상희

연세대학교 전기공학과, \*명지대학교 전기공학과

### SPEECH SIGNAL PROCESSING IN THE AUDITORY SYSTEM

J.H. Lee, S.J. Sim, T.S. Yoon, S.H. Beack, S.H. Park

Dept. of Electrical Eng., Yonsei university,

\* Dept. of Electrical Eng., Myong-ji university.

#### ABSTRACT

The speech signal processing in the auditory system can be analyzed based on two representations : Average discharge rate and Temporal discharge pattern. But the average discharge rate representation is restricted by the narrow dynamic range because of the rate saturation and the two tone suppression phenomena, and the temporal discharge pattern representation needs a sophisticated frequency analysis and synchrony measure.

In this paper, a simple representation is proposed : using a model considering the interaction of Cochlear fluid-BM movement and a haircell model, the feature of speech signals (formant frequency and pitch of vowels) is easily estimated in the Average Synchronized Rate.

#### 1. 서론

인간의 청각시스템은 가장 효율적인 음성신호처리 시스템이지만, 여러 비선형적 현상으로 인해 그 처리 방식을 간단히 이용할 수 없었다. 신경응답을 통한 음성의 특징추출방식으로서 평균발화율은 좁은 동기영역을 갖는다는 제한점이 있으며[1],[2] 발화패턴 해석방식은 주파수분석과 동기측정 등의 복잡한 절차가 필요하다.[3],[4],[5]

본 연구에서는 Yegnanarayanan이 제안한 기저막-유체<sup>2</sup>상호작용 모델과 [9] Hall과 Schroeder가 제안한 헤어셀 모델을 [10] 이용하여 신경발화패턴을 구하고 동기화된 발화패턴으로부터 직접 음성정보를 추출할 수 있음을 보이고자 한다.

#### 2. 청각 시스템의 신호처리 특성

##### 1) 주파수의 분석

내이에 유입된 입력신호는 기저막위를 진행하면서 입력신호의 주파수에 따라 특징지점에서 최대공진율이 일으킨다. 기저막에는 헤어셀(hair cell)이라는 섬모들이 분포되어 있고 이 헤어셀에는 청각신경이 연결되어 있다. 따라서 한 점에서 기저막이 최대공진율일 경우 그 지점에 연결된 헤어셀과 청각신경이 활발한 응답을 보이게 된다.

기저막상의 각 점들은 각기 고유의 특정 주파수에 잘 반응하므로 (이 주파수를 특정 주파수라고 한다.) 유입신호의 주파수는 어느 지점의 청각신경이 최대발화율을 보이느냐에 따라 결정된다.[11] 이 원리를 이용하여 기저막의 모델링은 대개 다채널 대역통과여파기로 이루어진다.[12],[13]

##### 2) 신경응답의 동기(synchrony)현상

단음(pure tone) 자극을 가했을 때 청각신경의 발화 형태를 시간에 따라 지켜보면 그 패턴이 입력신호의 주기와 유사함을 발견할 수 있다.

즉, 입력신호의 주파수가 발화패턴의 주기로 반영되며 결국 중추 신경계에서는 최대발화율의 위치와 발화패턴의 주기를 통해 입력신호의 정보를 얻는다고 볼 수 있다.[11],[17]

음성신호와 같은 복합음의 경우에는 한 신경의 발화패턴의 주기가 여러 주파수 성분을 반영하고 있다. 이런 경우 어떤 성분들이 어떤 비율로 반영되고 있는지 알아보는 방법을 동기 측정(synchrony measure)이라고 한다. 만일 발화패턴의 주기가 하나의 주파수 성분만을 반영한다면 그 주파수에 동기화(synchronized)되었다고 한다.

##### 3) 발화율과 발화패턴의 해석

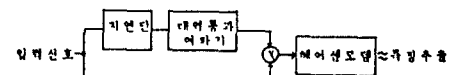
한 청각신경의 발화응답을 일정시간 동안 평균한 값을 평균발화율이라 하며 대개 신경의 위치에 따라 배열하여 그림으로 나타낸다.

Young과 Sachs는 음성에 대한 신경발화측정실험을 통해 50 db 이하의 자극에서는 모음의 중요정보인 포먼트와 발화율의 첨두치들이 일치하나 보통 대화시의 자극(70-80 db)에 대한 평균발화율에서는 포먼트의 특징을 잘 알아볼 수 없음을 밝혀 냈다. 이는 신경의 발화율 포화(rate saturation) 현상과 이음역제(two tone suppression) 현상 때문이다.[2],[4] 따라서 모음에 대한 청각시스템의 특징추출을 설명하는 방식으로서 평균발화율방식은 제한점이 많으며, 더욱기 피치에 대한 정보를 반영하고 있지 않다.[17]

이에 반해 발화패턴의 동기비율(synchronization index)의 분석은 자극의 세기에 상관없이 포먼트 주파수의 주경과 피치의 검출이 가능하다. 그러나 이 방식은 발화패턴의 주파수 분석 및 대역 정규화 등의 복잡한 알고리듬을 거쳐야 한다.

##### 3. 모델의 구성

본 연구에서는 청각시스템에 유입된 음성신호로부터 신경발화패턴을 얻고 이 발화패턴으로부터 음성정보를 추출하기 위해 다음과 같은 모델을 사용하였다.



## 1) 기저막의 운동

음성신호는 기저막상을 진행하며 각 점에서 공진을 일으킨다. 이 운동은 자연단이 붙은 고전적인 1차원 모델로 해석되며 [12], [13], [17] R-L-C 공진회로로 이루어지는 대역통과여파기로 구현된다.

그식은 다음과 같다.

$$g(t-D_n) = \frac{jw \times f(t-D_n) \times w_{n0} / Q_n}{w_{n0}^2 - w^2 + jw_{n0}/Q_n}$$

이때,  $w_{n0}$ : 공진각주파수,  $f(t)$ : 입력신호,  $Q_n$ :  $n$ 번째 여파기의 선택도,  $g(t)$ : 출력신호

## 2) 유체압력과의 상호작용

내이에 전달된 음성신호의 압력은 기저막상에 전달되는 전행파(propagation wave)를 발생시키고, 또한 내이안의 외암파액에도 수축파(compression wave)를 발생시킨다. [15] 따라서 한 점의 헤어셀은 기저막의 전행파와 수축파를 동시에 받게 된다. 액체내로 전달되는 수축파는 시간지연이 없는 원래의 입력신호와 동일하다.

1985년 Yegnanarayanan은 청각시스템에서의 피치의 추정과 이음역제와 같은 비선형 현상을 설명하기 위해 헤어셀에 미치는 전행파와 수축파의 상호작용을 굽힘과 반파정류에 가정하였다. [9] 본 연구에서는 음성신호의 정보처리에 이 상호작용을 고려함으로서 특성 주파수에 동기강화(synchrony enhancement)된 발화 패턴을 얻을 수 있었다.

## 3) 헤어셀 모델

헤어셀 모델은 1979년 Hall과 Schroeder가 제안한 모델이다. [10] 이 모델은 헤어셀-청각신경의 응답을 발화파를의 형태로 나타내며 발화율을 포함, 순응현상(adaptation), 위상동기등의 현상을 구현할 수 있다.

모델의 식은 다음과 같다.

$$\begin{aligned} dn(t)/dt &= \tau - n(t) \times [g + p(t)], \\ f(t) &= n(t) \times p(t), \\ p(t) &= po [s(t)^2 + (s^2(t)/4 + 1)^{1/2}], \end{aligned}$$

## 4. 실험 및 결과

음성 신호는 8명의 20대 남성으로부터 얻은 5개의 기본모음을 3.5 kHz의 차단주파수를 갖는 저역통과 여파기를 거쳐 10 kHz 색출법하여 사용하였다.

본 실험 결과와 비교분석하기 위해 각 모음의 256개 샘플에 대한 15점의 선형예측계수과 자기상관 함수를 구해 전력스펙트럼과 피치를 추정하였다.

기본 모음 '아'에 대한 모델의 응답은 다음과 같다.

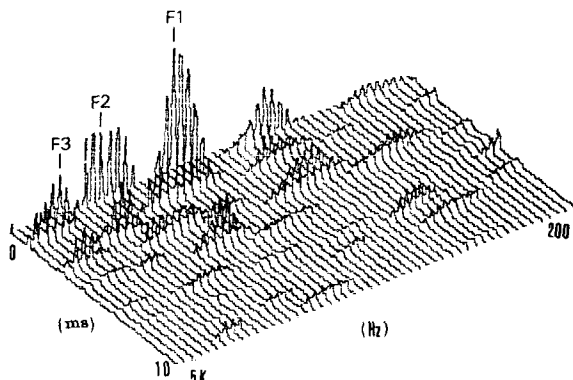


그림 1. 모음 '아'에 대한 신경출력도

그림 1은 시간의 진행에 따른 모델의 출력을 나타낸 그림이다. 본 모델의 출력은 청각신경의 발화 패턴이므로 그림 1은 신경출력도(neurogram)의 형태를 갖는다. 각 신경의 출력의 절두치가 몇 번째의 지점에서 절충됨을 알 수 있는데 이것은 입력신호의 주파수성분과 관계가 있다. 실제로 모음 '아'의 표면트 주파수를 대응시켜 보면 절두치의 밀집 지역과 거의 일치함을 알 수 있다.

그림 1에 사용된 자극의 세기는 70 dB SPL로 실제 신경응답에서는 발화율을 포함하는 때문에 표면트 주파수의 특징을 알아볼 수 있는 크기이다. [12], [14] 그러나 본 모델의 신경출력도에서는 표면트 주파수의 위치가 정확히 나타나고 있다. 그 이유는 유체 압력과 기저막 공진의 상호작용으로 각 신경 유의 응답이 그 유체 고유의 특성 주파수에 영향을 끼쳤기 때문이다.

따라서 그림 1은 입력신호를 청수시간부에 통과시켜 얻은 유사스펙트로(pseudo spectrogram)으로 볼 수 있다. [8], [11], [17] 또 이 유사스펙트로 모양은 표면에 따른 신경응답의 변환을 보여주기 때문에 표면트 주파수의 추이를 짐작볼 수 있다.

그림 2는 10~16000㎐간의 신경 출력도를 각각의 특성주파수에 대해 경로별로 나타낸다. 입력신호는 그림 1과 동일한 아 이미지 모음을 주파수는 10.4 kHz이며 민도 13 dBm을 통한 표면트 주파수의 원점은 평균적 암는다고 볼 수 있다. [16] 그림 2(a)와 2(b)의 경로는 표면발화율이며 실선은 아 이미지의 표면발화율이다.

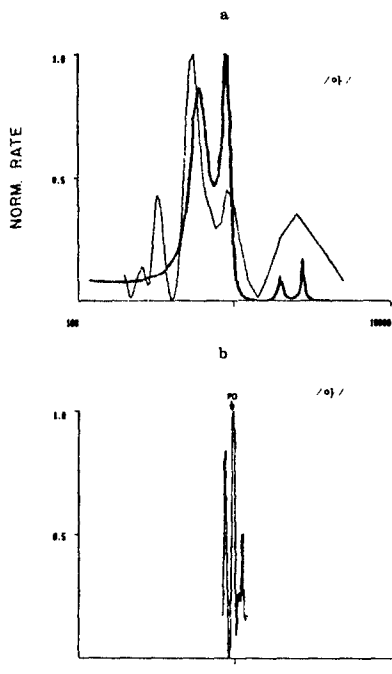


그림 2.(a) 평균 동기화 발화율과 전력스펙트럼  
(b) 피치에 대한 평균 동기화 빌화율

그림 2.(a)는 200 Hz ~ 5 kHz까지의 특성주파수를 범위로 하는 평균 동기화 발화율을 경규화비율로 나타낸 것이다. 경력스펙트럼과 비교해 보면 제2, 제3 표면트 주파수의 위치는 일치되며 제1 표면트 주파수는 약 27 Hz 정도 낮다. 그리고 전력스펙트럼에는 나와 있지 않은 절두치가 333 Hz 기점에 발생했음을 알 수 있다.

그림 2.(b)의 특성주파수 범위는 90 Hz - 110 Hz이며 (a)와 같이 정규화하였다. (b)의 그림에서는 약 98 Hz에서 큰 점두치를 볼 수 있는데 이는 입력신호의 기본주파수 (fundamental frequency, 페치에 해당함)인 96.2 Hz에 매우 근접한다. 즉, 동기화된 신경발화파형으로부터 음성신호의 페치를 근사적으로 추정해 낼 수 있다.

그림 3은 4개의 기본모음의 1주기에 대한 평균동기화 발화율을 나타낸 것이다. (a)의 특성주파수는 200Hz - 5KHz이며 (b)는 80Hz - 120 Hz이다. (b)의 화살표는 실제 페치를 나타내고 있다.

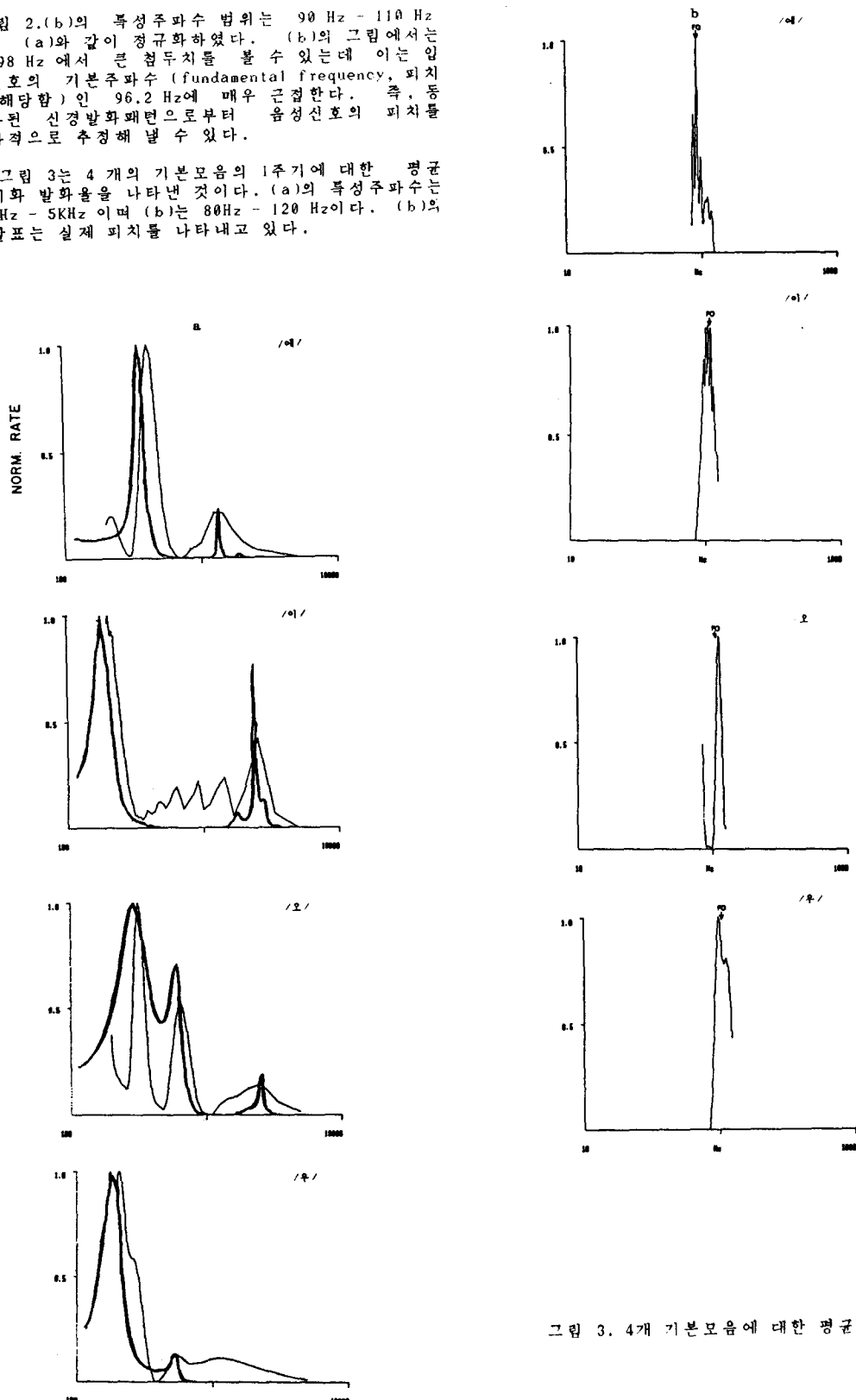


그림 3. 4개 기본모음에 대한 평균 동기화 발화율

## 5. 결론

본 연구에서는 청각계통의 제반 특성을 반영하는 모델을 사용하여 신경발화패턴으로부터 음성신호의 특징을 직접 추출하였다.

본 연구의 결과는 평균발화율 방식보다 입력신호의 자극세기에 대해 안정적이며 기계적 운동-신경응답의 변환과정에서 동기강화(synchrony enhance)를 시킴으로써 신경응답을 직접 모음의 특징추출에 사용할 수 있었다. 향후의 연구에서 자음 및 단음의 경보추출이 이루어지면 청각계통의 특성을 이용한 음성인식도 가능해 질 것으로 보인다.

## 〈참고문헌〉

1. D.O.Kim, C.E.Molnar, "A population study of cochlear nerve fibers : comparison of spatial distributions of average rate and phase locking measures," *J.Neurophysiology*, 42, 1979.
2. E.D.Young, M.B.Sachs, "The representation of steady-state vowels in the temporal aspects of the discharge patterns of populations of auditory nerve fibers," *JASA.*, 66, 1979.
3. B.Delgutte, Y.S.Kiang, "Speech coding in the auditory nerve : I. Vowel-like sounds," *JASA.*, 75, 1984.
4. M.B.Sachs, E.D.Young, "Effects of nonlinearities on speech coding in the auditory nerve," *JASA.*, 68, 1980.
5. S.A.Shamma, "Speech processing in the auditory system I : the representation of speech sounds in the response of the auditory nerve," *JASA.*, 78, 1985.
6. J.L.Goldstein, P.Srulevicz, "A central spectrum model : a synthesis of auditory nerve timing and place cues in monaural communication of frequency spectrum," *JASA.*, 73, 1983.
7. C.D.Geisler, "Coding of acoustic signals on the auditory nerve," *IEEE. ENG. Medicine & Biology*, 6, 1987.
8. S.Seneff, "Pitch and spectral analysis of speech based on auditory synchrony model," *Ph.D thesis, M.I.T.*, 1985.
9. G.Yegnanarayanan, "A new model of hearing and its performance in pitch perception," *Ph.D thesis, Delaware univ.*, 1985.
10. J.L.Hall, M.R.Schroeder, "Model for mechanical neural transduction in the auditory receptor," *JASA.*, 5, 1974.
11. W.A.Yost, D.Nielsen, *Fundamentals of Hearing*, Holt, Rinehart and Winston, 1985.
12. J.B.Allen, "Cochlear modelling," *IEEE. ASSP. Magazine*, 1985.
13. J.L.Flanagan, *Speech Analysis, Synthesis and Perception*, Springer-Verlag, 1972.
14. 박상희, 백승화, 윤태성, 이재혁, "청각보청을 위한 자극패턴추출에 관한 연구," 전기·전자 공학 학술대회논문집(III), 1987.
15. G.von Bekesy, *Experiments in Hearing*, E.G. Wever(ed.), Kriger, Newyork, 1980.
16. L.R.Rabiner, R.W.Schafer, *Digital processing of speech signals*, Prentice-Hall, 1978.